



Eclipse central anular de Sol, el 1 de septiembre de 2016

Visible en África, península arábiga, la Antártida y extremo oeste de Indonesia y Australia. Eclipse número 39 de la serie Saros 135, compuesta por 71 eclipses. Los datos que se presentan a continuación se han calculado considerando $\Delta T = 69^{\circ}0^*$

Hora UT de la conjunción geocéntrica en ascensión recta: $9^{\text{h}} 18^{\text{m}} 02^{\text{s}}912$.

Circunstancias generales

	UT	Longitud	Latitud
Principio del eclipse	$6^{\text{h}} 13^{\text{m}}1$	$3^{\circ} 52' 0 \text{ W}$	$4^{\circ} 00' 4 \text{ N}$
Principio del eclipse anular	$7^{\text{h}} 17^{\text{m}}8$	$19^{\circ} 04' 5 \text{ W}$	$2^{\circ} 50' 9 \text{ S}$
Principio del eclipse central	$7^{\text{h}} 19^{\text{m}}2$	$19^{\circ} 23' 1 \text{ W}$	$3^{\circ} 04' 4 \text{ S}$
Máximo del eclipse	$9^{\text{h}} 06^{\text{m}}9$	$37^{\circ} 46' 0 \text{ E}$	$10^{\circ} 41' 2 \text{ S}$
Eclipse central al mediodía local .	$9^{\text{h}} 18^{\text{m}}0$	$40^{\circ} 27' 3 \text{ E}$	$12^{\circ} 20' 4 \text{ S}$
Fin del eclipse central	$10^{\text{h}} 54^{\text{m}}4$	$100^{\circ} 32' 9 \text{ E}$	$35^{\circ} 38' 2 \text{ S}$
Fin del eclipse anular	$10^{\text{h}} 55^{\text{m}}8$	$100^{\circ} 14' 6 \text{ E}$	$35^{\circ} 24' 3 \text{ S}$
Fin del eclipse	$12^{\text{h}} 00^{\text{m}}6$	$85^{\circ} 23' 5 \text{ E}$	$28^{\circ} 35' 4 \text{ S}$

Magnitud del eclipse: 0.974

ELEMENTOS BESSELIANOS

Las siguientes expresiones son válidas en intervalo $-2^{\text{h}}865 \leq t \leq +3^{\text{h}}094$, con $t = \text{UT} - 9^{\text{h}}$, expresado en horas.

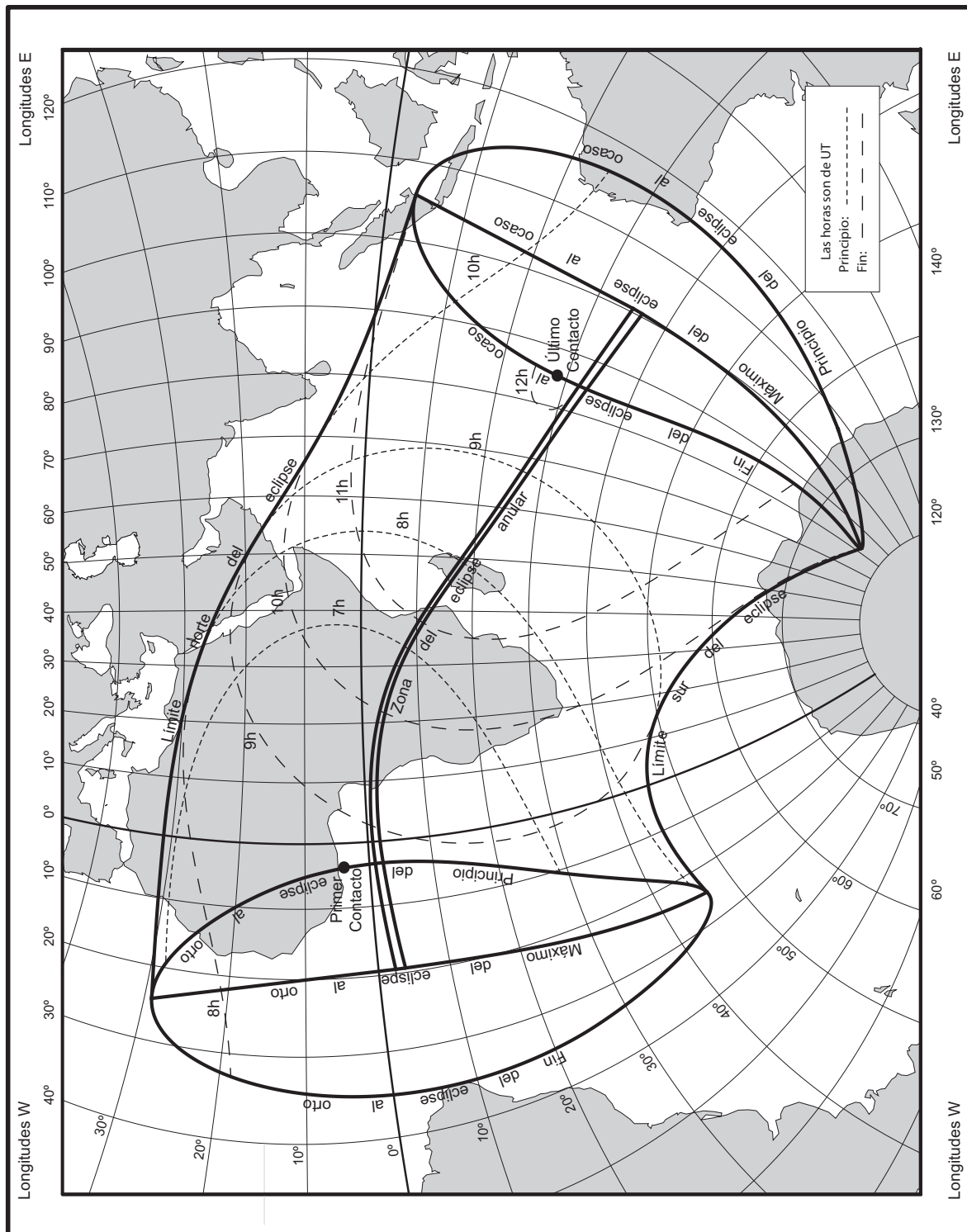
$$\begin{aligned}x &= -0.151\,624\,57 + 0.504\,062\,75 t - 0.000\,021\,74 t^2 - 0.000\,006\,30 t^3 \\y &= -0.302\,620\,56 - 0.148\,153\,08 t - 0.000\,025\,74 t^2 + 0.000\,001\,78 t^3 \\\mu &= 315^{\circ}030\,852\,63 + 15.004\,543\,96 t + 0.000\,000\,96 t^2 - 0.000\,000\,02 t^3 \\\sin d &= +0.140\,262\,36 - 0.000\,255\,80 t - 0.000\,000\,04 t^2 \\\cos d &= +0.990\,114\,37 + 0.000\,036\,24 t - 0.000\,000\,03 t^2 \\l_1 &= +0.557\,954\,24 + 0.000\,111\,14 t - 0.000\,010\,47 t^2 \\l_2 &= +0.011\,511\,09 + 0.000\,110\,58 t - 0.000\,010\,42 t^2 \\\tan f_1 &= +0.004\,634\,02 \\\tan f_2 &= +0.004\,610\,94 \\\mu' &= +0.261\,878\,70 \\d' &= -0.000\,258\,36\end{aligned}$$

* Si se desea utilizar un valor más preciso, $\Delta T'$, los datos presentados deben modificarse de la siguiente forma:

- Calcular $\delta T = \Delta T' - \Delta T$, en segundos de tiempo.
- Restar δT a las horas UT presentadas.
- Sumar a las longitudes presentadas los segundos de arco $15.04106865 \times \delta T$, con δT en segundos de tiempo.
- Las latitudes no se modifican.
- Elementos besselianos:
 - Añadir a μ la cantidad $0.004\,178\,074\,625 \times \delta T$ grados, con δT en segundos de tiempo.
 - Evaluar los elementos para $\text{UT} + \delta T / 3600$ horas.



Eclipse central anular de Sol, el 1 de septiembre de 2016





Eclipse central anular de Sol, el 1 de septiembre de 2016
Zona de centralidad

UT	Límite Sur		Línea de centralidad				Límite Norte	
	Longitud	Latitud	Longitud	Latitud	Duración	Alt.	Longitud	Latitud
Límites	-19°22'9"	-3°45'4"	-19°23'1"	-3°04'4"	—	—	-19°23'5"	-2°23'5"
h m	°'	°'	°'	°'	m s	°	°'	°'
7 20	-14 41.1	-3 06.5	-13 00.7	-2 15.0	2 39.8	7	-11 44.7	-1 28.0
7 25	-3 37.0	-2 02.7	-3 05.2	-1 24.7	2 43.0	18	-2 34.9	-0 47.3
7 30	+1 51.4	-1 50.2	+2 15.0	-1 15.3	2 45.2	24	+2 37.9	-0 40.8
7 35	+5 53.9	-1 51.6	+6 14.0	-1 18.6	2 47.0	29	+6 33.6	-0 46.0
7 40	+9 11.1	-2 00.6	+9 29.2	-1 29.1	2 48.6	34	+9 47.0	-0 58.0
7 45	+11 59.6	-2 14.8	+12 16.4	-1 44.6	2 50.0	38	+12 33.0	-1 14.6
7 50	+14 27.6	-2 32.9	+14 43.6	-2 03.6	2 51.4	41	+14 59.4	-1 34.7
7 55	+16 40.5	-2 54.0	+16 55.8	-2 25.6	2 52.6	45	+17 11.1	-1 57.5
8 00	+18 41.5	-3 17.6	+18 56.4	-2 50.0	2 53.7	48	+19 11.2	-2 22.7
8 05	+20 33.1	-3 43.4	+20 47.6	-3 16.5	2 54.7	51	+21 02.1	-2 49.9
8 10	+22 16.9	-4 11.1	+22 31.2	-3 44.9	2 55.6	53	+22 45.4	-3 18.9
8 15	+23 54.4	-4 40.5	+24 08.4	-4 14.8	2 56.4	56	+24 22.4	-3 49.4
8 20	+25 26.5	-5 11.5	+25 40.4	-4 46.3	2 57.1	58	+25 54.2	-4 21.3
8 25	+26 54.2	-5 43.9	+27 08.0	-5 19.2	2 57.7	60	+27 21.7	-4 54.6
8 30	+28 18.2	-6 17.7	+28 31.9	-5 53.3	2 58.3	62	+28 45.4	-5 29.2
8 35	+29 39.1	-6 52.8	+29 52.6	-6 28.8	2 58.7	64	+30 06.1	-6 04.9
8 40	+30 57.4	-7 29.1	+31 10.9	-7 05.3	2 59.1	66	+31 24.3	-6 41.8
8 45	+32 13.6	-8 06.6	+32 27.0	-7 43.1	2 59.4	67	+32 40.4	-7 19.8
8 50	+33 28.2	-8 45.2	+33 41.5	-8 22.0	2 59.7	69	+33 54.8	-7 58.9
8 55	+34 41.6	-9 25.0	+34 54.8	-9 01.9	2 59.8	70	+35 08.1	-8 39.0
9 00	+35 54.0	-10 06.0	+36 07.3	-9 43.0	2 59.9	70	+36 20.4	-9 20.2
9 05	+37 06.0	-10 48.1	+37 19.2	-10 25.2	3 00.0	71	+37 32.3	-10 02.4
9 10	+38 17.9	-11 31.3	+38 31.0	-11 08.4	2 59.9	70	+38 44.1	-10 45.7
9 15	+39 30.0	-12 15.7	+39 43.1	-11 52.8	2 59.8	70	+39 56.2	-11 30.0
9 20	+40 42.8	-13 01.3	+40 55.8	-12 38.3	2 59.7	69	+41 08.8	-12 15.5
9 25	+41 56.5	-13 48.1	+42 09.5	-13 25.0	2 59.5	68	+42 22.4	-13 02.1
9 30	+43 11.7	-14 36.2	+43 24.6	-14 12.9	2 59.3	67	+43 37.5	-13 49.8
9 35	+44 28.8	-15 25.6	+44 41.6	-15 02.1	2 59.0	66	+44 54.4	-14 38.7
9 40	+45 48.3	-16 16.4	+46 01.0	-15 52.6	2 58.7	64	+46 13.7	-15 28.9
9 45	+47 10.7	-17 08.6	+47 23.3	-16 44.5	2 58.3	62	+47 35.8	-16 20.5
9 50	+48 36.7	-18 02.4	+48 49.1	-17 37.9	2 57.9	60	+49 01.5	-17 13.4
9 55	+50 07.0	-18 57.9	+50 19.2	-18 32.9	2 57.4	57	+50 31.4	-18 08.0
10 00	+51 42.6	-19 55.3	+51 54.5	-19 29.6	2 56.9	55	+52 06.5	-19 04.1
10 05	+53 24.4	-20 54.6	+53 36.1	-20 28.3	2 56.3	53	+53 47.7	-20 02.2
10 10	+55 14.0	-21 56.3	+55 25.2	-21 29.2	2 55.7	50	+55 36.3	-21 02.2
10 15	+57 13.0	-23 00.4	+57 23.6	-22 32.4	2 55.0	47	+57 34.2	-22 04.6
10 20	+59 23.8	-24 07.6	+59 33.5	-23 38.5	2 54.3	44	+59 43.3	-23 09.7
10 25	+61 49.4	-25 18.2	+61 58.1	-24 47.9	2 53.5	40	+62 06.8	-24 17.9
10 30	+64 34.6	-26 33.0	+64 41.7	-26 01.3	2 52.6	37	+64 49.0	-25 29.8
10 35	+67 46.6	-27 53.4	+67 51.4	-27 19.9	2 51.6	33	+67 56.5	-26 46.7
10 40	+71 37.7	-29 21.2	+71 38.9	-28 45.4	2 50.4	28	+71 40.5	-28 10.0
10 45	+76 33.3	-31 00.5	+76 27.7	-30 21.5	2 49.0	23	+76 23.1	-29 43.1
10 50	+83 44.5	-33 02.3	+83 22.0	-32 17.8	2 47.3	16	+83 02.4	-31 34.4
10 51	+85 46.7	-33 32.3	+85 16.5	-32 45.9	2 46.8	14	+84 50.6	-32 00.9
10 52	+88 15.2	-34 06.5	+87 32.6	-33 17.3	2 46.3	11	+86 57.1	-32 30.0
10 53	+91 34.2	-34 48.2	+90 26.4	-33 54.2	2 45.6	9	+89 33.1	-33 03.3
10 54	+98 51.6	-36 05.5	+94 56.4	-34 45.0	2 44.7	5	+93 10.7	-33 45.3
Límites	+100°29'7"	-36°20'3"	+100°32'9"	-35°38'2"	—	—	+100°36'2"	-34°56'2"